

- (1) 金属塩および石灰によるリンの凝集沈殿除去
- (2) 凝集沈降に関する基礎的研究
- (3) フロックの沈降速度、密度および構造に関する研究(討議)

東京大学 松尾 友矩  
東北大学 大垣真一郎

## I 「金属塩および石灰によるリンの凝集沈殿除去」について

1) 本論文のテーマの一つは、「凝集剤の定量添加を行なったときとモル比制御を行なったときとで、いつかの場合が処理場からのリンの漏出負荷を小さくしていく上において有利であるのか?」ということにあると考えられる。とすれば、モル比に対する除去率の関係が(図-4)に示されるような単調増加の傾向が確認されている範囲においては、「年間で最も高い流入リン濃度に対するモル比を設定してやり、それによって決まってくる凝集剤添加量を年間通して定量添加してやること」が、操作の上からは最も簡単でかつリン除去において最も有効な方法になるであろうことが想像される。リン除去だけについていえば、けちった定量添加よりはたっぷりしたモル比制御がすぐれるであろうし、たっぷりした少量添加はけちったモル比制御よりもはるかにすぐれていることになるであろう。最適薬注量、あるいはモル比に対する除去率の関係に一種の飽和値が存在するかどうかといった点がまず検討されるべきではないだろうか。

2) 夏期には凝集剤としてバンドを使い冬期には塩化第二鉄と異なった凝集剤を使いながら、解析においてはモル比という形で同質のものとして整理してしまっている。凝集条件としての凝集剤の種類の差は検討してあられるのだろうか。

## II 「凝集沈降に関する基礎的研究」、「フロックの沈降速度、密度および構造に関する研究」について

この二論文はそれぞれ異なるねらいを持ったものではあるが、討議者の個人的興味を優先させることをお許しいただき、ここでは両論文に関するものとして「フロックの密度」についての考え方を整理してみたいと思う。「フロックの密度」の問題は「フロックの問題」の中でもまだ多くが残されている問題だと思えるからである。

### 1) フロック密度の算定法について

フロックの粒径を測り、重量を(直接)測定することからフロック密度を直接求めようとする試みは松本等による報告があるが、しかしその測定値のバラツキは大きくまだ実質的な数値を与えるところまではいたっていないようである。

そういう時、通常用いられる方法は、粒径と沈降速度を測定することから間接的に密度を求める方法である。定性的には  $w = \sqrt{\frac{g}{C_D} \cdot \frac{R_e}{\rho} \cdot d}$  (1) で整理される。抵抗係数( $C_D$ )は粒子の形状、 $R_e$ 数( $d \cdot \rho / w$ )によって変化していくが、形状を仮定し、またある $R_e$ 数範囲では一定の $R_e$ 数の関数として表示されることを仮定することによって、その条件下での粒子の沈降速度( $w$ )と粒径( $d$ )の関係が求められる。

$C_D$ を $R_e$ 数の指數関数( $C_D = k / R_e^n$ )と表示するととき、(1)式は(2)式のように変形される。  
 $w = \left( \frac{g}{k} K^{-1} \right)^{\frac{1}{2-n}} \cdot d^{\frac{n}{2-n}} \cdot \left( \frac{\rho_p - \rho}{\rho} \right)^{\frac{1}{2-n}} \cdot d^{\frac{1}{2-n}}$  (2)  $K$ 、 $k$ は $R_e$ 数によって変化していくが、その関係を考慮しつつ  $w$  と  $d$  の関係を定性的に示せば(このときは、粒子密度( $\rho_p$ )は一定と考えている)図-1のようにならう。一般に粒径が大きくなるにつれて  $w \propto d^2$  (ストーカスの領域であり、 $C_D = k / R_e$  の関係を想定している)から次第にブレて勾配が小さくなる傾向となっていく。

このような関係において、栗谷・楠田論文は抵抗係数に  $C_D = k / R_e$  の形を想定して、実測データが示す  $w \propto d^2$  からのずれの原因を  $\rho_p$  の変化として説明しようとするものになっている。しかし、(2)式における指數  $n$  の性質を考えると、両対数軸にとった粒径と沈降速度の勾配が2より小さくなっている原因を  $\rho_p$  の変化としてではなくて、指數  $n$  の変化として

解析することもまた可能であることが想像されよう。

$\rho_p$ が変化するときを考えるべきか、指数mが変化していると考えるべきなのかの判断は非常に難かしい問題を含むと思われる。一つの目安は対象としている現象の  $Re$  数の範囲、あるいは形状といったものとの相対的な形で議論されていくことになると思われる。

この事情に関して、討議者等が経験している一定密度の球形・スチレン粒子(比重1.07)を使っての沈降実験の結果を参考として示せば(図-2)のようになる。ここに示されるプロットを2つのグループに分け、それぞれのグループ内では  $C_b = k_{Re}$  の形は変わらないものとして各プロットを直線近似して実測値よりmを求め、Kを(2)式から逆算して求めれば、それぞれのグループに対して(表-1)のように求められる。この表には参考として  $Re$  数の範囲を示してあるが、これらのことより定性的にいってかなり小さい  $Re$  数の領域においてすでにストックス型の関係( $w \propto d^2$ )からはずれてきていることを検証するものになっている。

このように考えると、今回報告されているようなプロックの領域においては、 $w \propto d^2$  の関係は成立しなくてきており、指数mが1よりも小さくなっている可能性も大きいといえる。そこで、 $d^2$  からずれをmの変化だけに起因するものと仮定してしまえば、今回報告されている全てのデータを  $\rho_p - \infty$  として計算してしまうことも可能であるといえる。

以上のような観点に立ち栗谷・楠田論文における(図-3, 4, 5, 9, 10, 11, 20, 21, 22, 23)に得られている  $d$  と  $w$  の関係を示すプロットに代表的(平均的)な直線関係を想定し、(2)式における指数mの値を求める(表-1)に紹介したmとKの関係からKを内挿法により求め、(2)式に必要な数値(アプロから読み取った)を代入すれば、それぞれのケース(凝集条件)に対応する  $\rho_p - \rho$  が逆算されて求められることになる。計算上の条件としては、 $\beta = \frac{1}{100}$ 、 $\rho = 1.0 \text{ gr/cm}^3$  を使用した。試算用いた点は上述した直線上に近いいくつかの点を任意に選んである。結果は(表-2)に整理される。

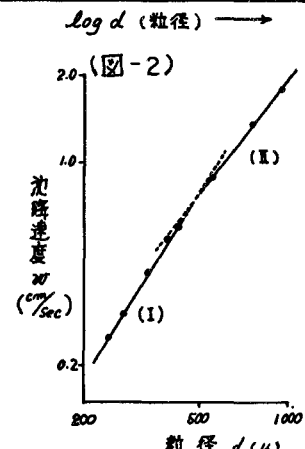
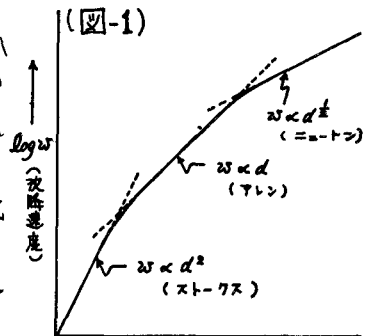
## 2) 結果の検討

(表-2)にまとめられた

(表-2)

結果を検討するとき、プロックの密度について次のような定性的な解析が可能となる。

①(図-20), (図-21), (図-22), (図-3), (図-23)のシリーズに示される傾向より ALT 比はプロック密度に非常に大きな影響をもつていてこと、実際には ALT 比が大きくなると  $\rho_p - \rho$  は小さくなっていく傾向が確認された。



(表-1)

$n$	K	$Re$ 数の範囲	備考
1.0	24	$Re < 1$	ストックス
0.95	21.7	$0.62 < Re < 2.49$	マレン I
0.68	15.4	$3.79 < Re < 13.2$	マレン II
0.5	12.65	$1 < Re < 1000$	アレン

図	$n$	K	$w$ (cm/s)	$d$ (cm)	$\rho_p - \rho$ (gr/cm <sup>3</sup> )	Re数	図	$n$	K	$w$ (cm/s)	$d$ (cm)	$\rho_p - \rho$ (gr/cm <sup>3</sup> )	Re数
3	0.75	17.7	0.700	0.112	0.013	7.84	11	0.49	12.4	0.193	0.083	0.003	1.60
			0.340	0.074	0.011	5				0.125	0.053	0.003	5
			0.240	0.058	0.011	5				0.082	0.034	0.003	0.28
			0.205	0.051	0.011	5				0.132	0.057	0.004	0.75
			0.125	0.035	0.011	0.44				0.108	0.052	0.003	5
4	0.66	15.0	0.255	0.082	0.006	2.09	20	0.57	13.7	0.092	0.044	0.003	5
			0.220	0.067	0.006	5				0.083	0.039	0.004	5
			0.155	0.052	0.006	5				0.066	0.036	0.003	0.24
			0.120	0.042	0.006	5				0.157	0.072	0.004	1.13
			0.105	0.036	0.007	0.38				0.110	0.057	0.003	5
5	0.55	13.5	0.240	0.076	0.006	1.82	21	0.68	15.4	0.088	0.048	0.003	5
			0.192	0.064	0.005	5				0.077	0.044	0.003	5
			0.170	0.057	0.005	5				0.066	0.038	0.004	0.25
			0.126	0.042	0.006	5				0.250	0.088	0.005	2.20
			0.067	0.029	0.004	0.19				0.220	0.073	0.005	5
9	0.76	18.3	0.170	0.051	0.009	0.87	22	0.62	14.5	0.170	0.061	0.005	5
			0.150	0.042	0.011	5				0.122	0.048	0.005	5
			0.139	0.040	0.011	5				0.110	0.040	0.006	0.44
			0.117	0.035	0.011	5				0.450	0.083	0.013	3.74
			0.062	0.026	0.008	0.16				0.280	0.059	0.013	5
10	0.75	17.9	0.100	0.027	0.014	0.27	23	0.79	19.4	0.230	0.053	0.013	5
			0.083	0.025	0.013	5				0.174	0.045	0.012	5
			0.066	0.021	0.013	0.14				0.118	0.034	0.013	0.40

② (図-3), (図-9), (図-10)を比較することにより、ALT比が一定だと、初期に形成される基本粒子の密度は、攪拌強度に影響されないことあるいはむしろ、強度が大きくなる方がフロックがコンパクトになっていくことがわかる。

③ しかし、一度強い攪拌を受けた基本粒子同士が再結合して形成されるフロックは、基本粒子が過去に受けた攪拌強度が大きいほど（それはフロックを構成する基本粒子の大きさが小さくなっていることに対応している）軽いフロックになっている。実験条件としては、G200→G200, G200→G100, G200→G50といったように過去における最大の攪拌強度をそろえるといった配慮も必要なのではないだろうか。

④ 総局、フロック密度は、ALT比、攪拌強度、攪拌強度の変化といった凝集条件によって大きく影響されるが、「一定の凝集条件下においては、フロック密度は粒径によらない」といった栗谷・楠田論文とは全く異なった結論にも達し得ることになる。

⑤ 沈降速度式として結果的にせよ  $w \propto \rho^2$  を仮定するストークス型を考えていく限り、丹保、渡辺等が先に求めた「密度函数」を越えていくことは難しいように思えるが、どのようなものであろうか。

### 3) 問題点について

フロック密度にかかわる問題点は次のようない点にあると思われる。

① 粒径と沈降速度の関係をめぐって、K, nを固定して考えるのか、 $\rho_p$ を固定して考えるのかによって、全く逆の結果が求められることになる。しかし、実際にはフロックの持つ透水性や形状特性などの要因が複雑に作用しあっているものと想像され、それらの関係を含めて定量化していかないと「フロックの密度」はなかなか決めにくいと思われる。

② 粒径の大きさ一つとっても、写真などから測定される粒径と実際に沈降速度に影響を与える有効な粒径とは必ずしも一致しないであろうことが予想される。

③ フロック密度が、粒径が大きくなるにつれて小さくなっていくとすれば、それに対するフロック構造としては、外に向かって粗になるか、内に向かって粗になるかのいずれかを仮定しなければならないが、大きなフロックを構成する基本粒子一つづつには、上述のような構造が考えられるとしてもそういった基本粒子同士が順次結合して大きなフロックが形成されていくとすれば、その大型の粒子に対しても内にいくほど粗になる、といった構造は考えにくく思われる。フロックの構造としては、平均的にいって均質なものと考える方が自然のようにも思える。この点についても今後の検討が必要とされよう。

### 4) おわりに

フロックの密度、粒径、沈降速度の関係については、一度整理してみたいと思っていたところ、今回、九大グリーフの大作である実験報告を見せていただくことになり、最近考えていくいくつかの点を検討させていただけたことはひじょうに幸運であったと思っています。私たちの考え方も一つの試論であり諸賢のご検討をお願いできればこれにすぐるものはありません。

### 5) 参考文献

り松本幹治・森芳郎、フロックの沈降速度式、『化学工藝』第11回総合シンポジウム、1973

(表-3)

### 6) 追補

栗谷・楠田論文における  
(図-4),(図-5),(図-6),(図-7)  
についても同様な検討を加え  
た結果を(表-3)に示す。(表-2)の  
結果と比較して密度が比較的  
小さいことが注目される実験  
条件などから何かコメントは?

図	n	K	$w$ (cm/s)	d (cm)	$\rho_p - \rho$ (g/cm <sup>3</sup> )	Re数	図	n	K	$w$ (cm/s)	d (cm)	$\rho_p - \rho$ (g/cm <sup>3</sup> )	Re数
4	0.57	13.7	0.140	0.154	0.0009	2.16	6	0.59	14.0	0.105	0.120	0.0008	1.26
			0.092	0.107	0.0009					0.056	0.090	0.0005	
			0.044	0.058	0.0007					0.033	0.056	0.0006	
			0.034	0.044	0.0008					0.020	0.032	0.0006	
			0.026	0.035	0.0008	0.09				0.009	0.021	0.0004	0.02
5	0.76	18.4	0.170	0.112	0.0023	1.90	7	0.69	15.6	0.119	0.145	0.0005	1.73
			0.103	0.087	0.0019					0.075	0.104	0.0004	
			0.058	0.062	0.0017					0.047	0.068	0.0005	
			0.038	0.043	0.0019					0.019	0.037	0.0004	
			0.022	0.029	0.0019	0.06				0.011	0.025	0.0004	0.03